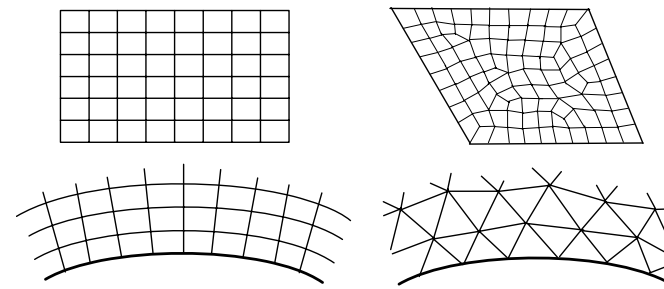


人工環境設計解析工学 メッシュ生成と アダプティブリメッシング (第4回)

東京大学
新領域創成科学研究科
鈴木克幸

構造メッシュと非構造メッシュ



(a) Structured Grid

(b) Unstructured Grid

マッピング法
バウンダリフィット法等

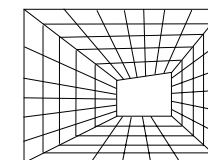
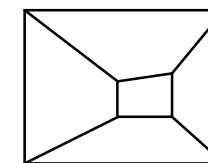
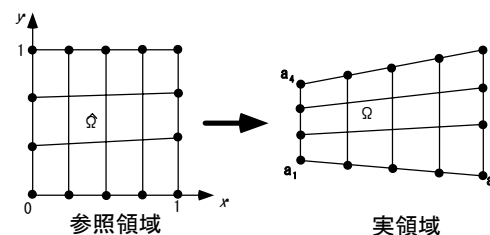
デラウニー法
アドバンスングフロント法等

自動メッシュ生成技術

- 構造メッシュ生成(規則的に配置されたメッシュ)
 - マッピング法(マップドメッシュ)
 - バウンダリフィット法
- 非構造メッシュ生成
 - デラウニー法
 - 四分木、八分木法
 - フロント法
 - ペービング法
- 構造問題では非構造メッシュが主流。流体問題では構造メッシュが主流だが、非構造メッシュに移りつつある。

半自動メッシュ生成法

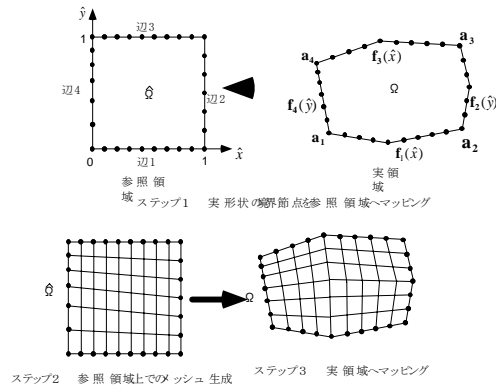
- マッピング法
- Transfinite マッピング法
- バウンダリフィット法



ブロック分割

Transfinite マッピング法

- マッピングを4角形以外の領域に拡張
- マッピング領域がゆがんでいるときはメッシュもゆがむ



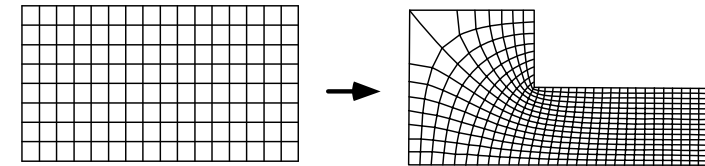
5

バウンダリーフィット法

- 楕円型偏微分方程式を解く(Elliptic Mesh Generatorとも呼ばれる)
 - 非常になめらかな構造メッシュ
 - 凸部は疎に、凹部は密に

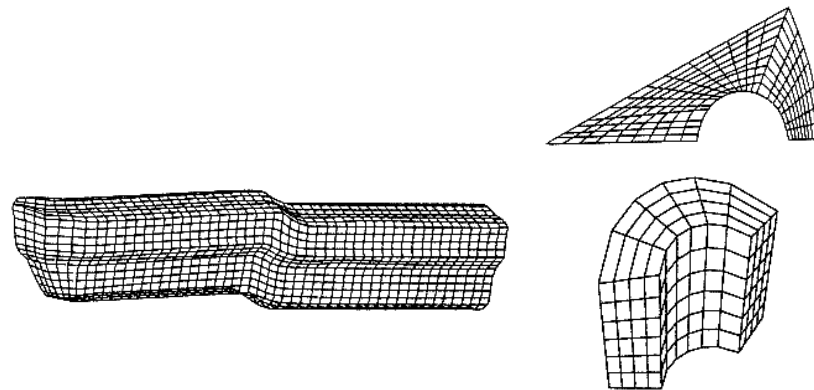
$$\xi_{xx} + \xi_{yy} = P$$

$$\eta_{xx} + \eta_{yy} = Q$$



6

マッピング法(2)

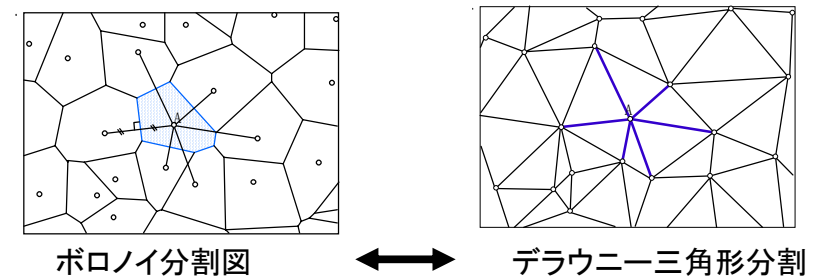


- 長所** 良い形状の要素が多く生成される。
- 短所** 対辺で節点数を等しくしなくてはならない等の制約があり、完全な自動化は行えず、複雑な形状を持つ領域にも適用できない。要素の粗密化が難しい。

7

デラウニー法

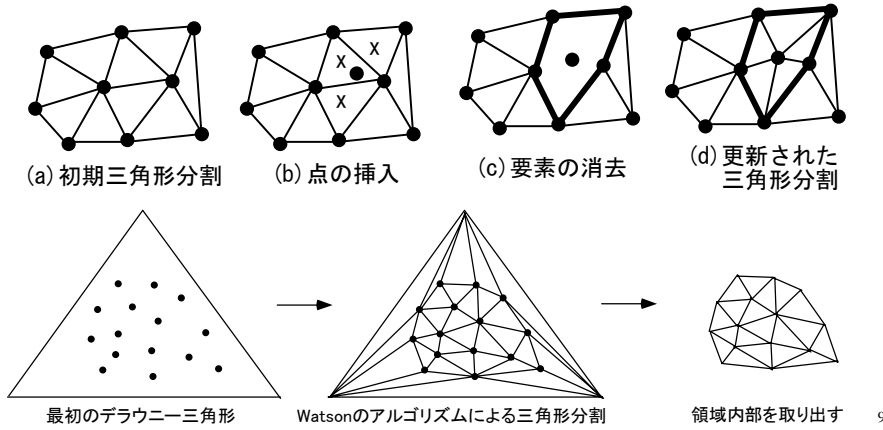
- ボロノイ分割に基づく
- 無限領域に対して解の存在が保証
- 有限要素メッシュとして質のよいメッシュ
- 3次元への拡張が容易



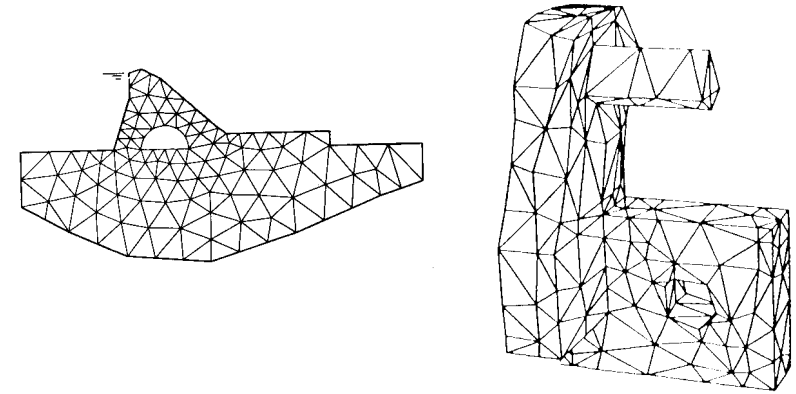
8

デラウニー法によるメッシュ生成法

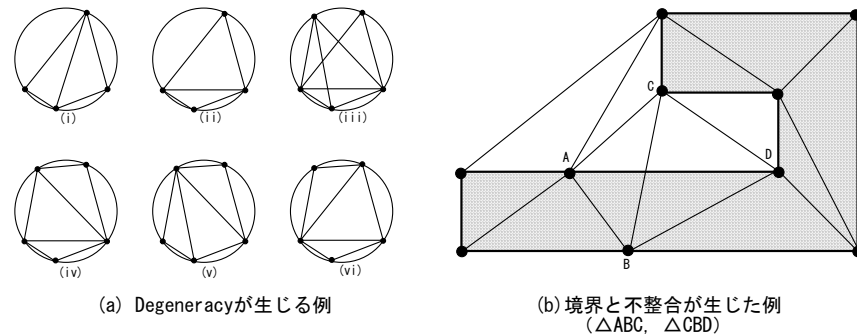
- Watsonのアルゴリズム



メッシュ生成例

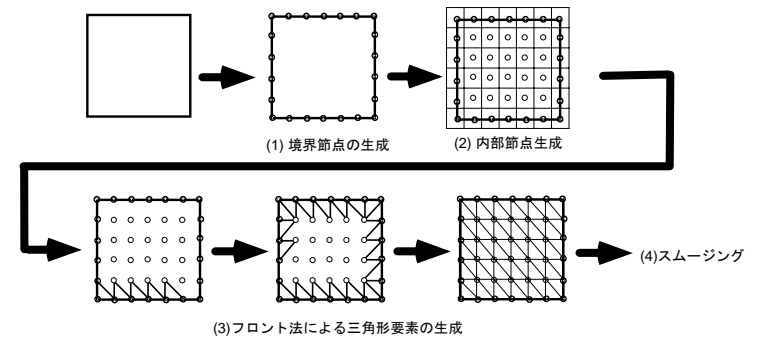


デラウニー法の問題

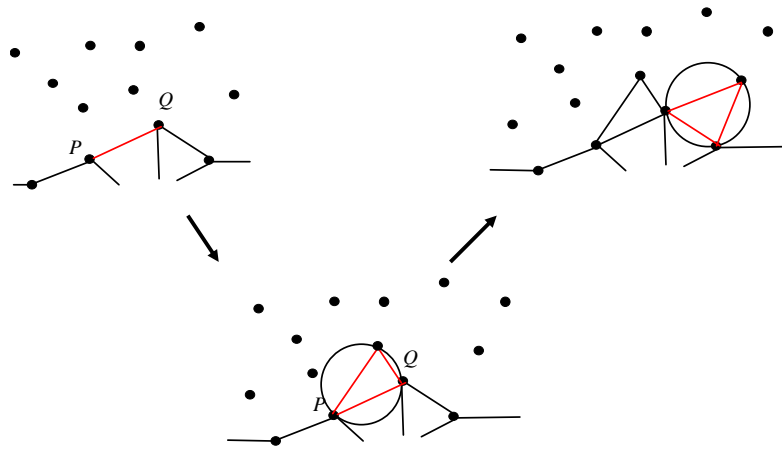


アドバンシングフロント法

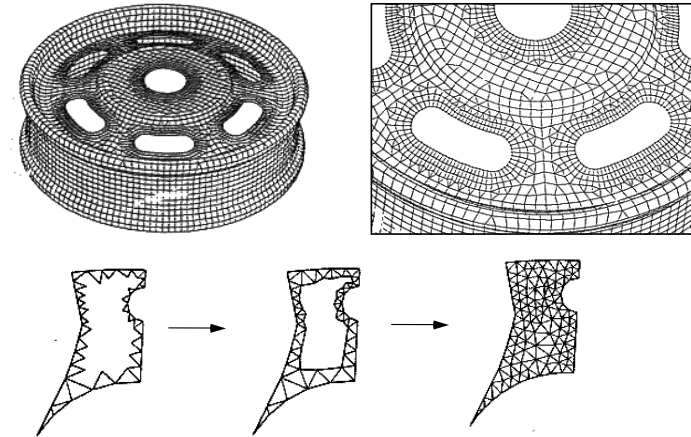
- 境界から三角形(四面体)を生成
- 非凸形状に有利
- アルゴリズムは複雑



アドバンスングフロント法でのメッシュ生成



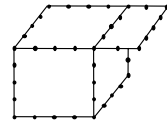
アドバンスングフロント法の例



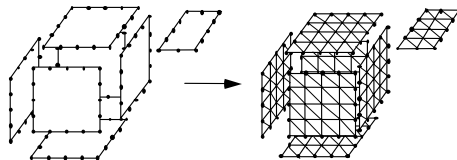
(アドバンスング)フロント法を用いたメッシュ生成

ユーザが要素の大きさの指標を与える

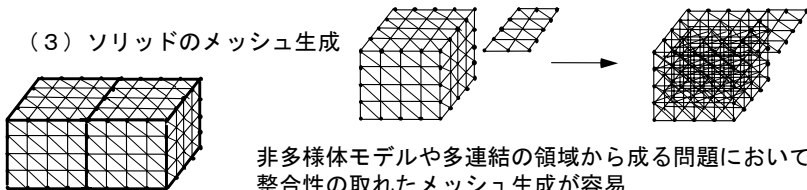
(1) 境界節点発生



(2) 面上でのメッシュ生成



(3) ソリッドのメッシュ生成



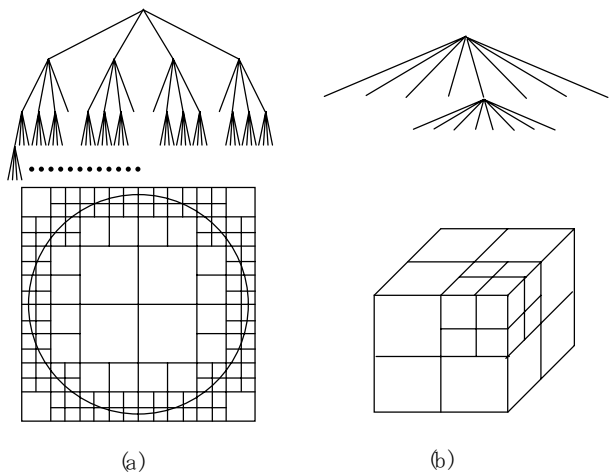
非多様体モデルや多連結の領域から成る問題において、整合性の取れたメッシュ生成が容易

アドバンスングフロントvs デラウニー

- アドバンスングフロント法
 - 境界面近くでいいメッシュ
 - メッシュ形状の制御可能
 - 計算量が多い
- デラウニー法
 - 数学的ベース
 - 計算量小
 - 境界での不具合

4分木法、8分木法

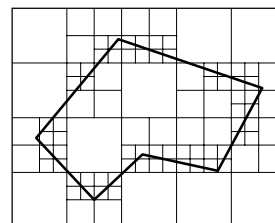
- 2次元、3次元



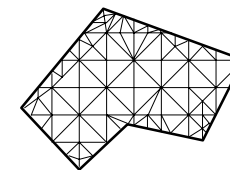
17

メッシュ生成例

4分木



メッシュ(スムージング前)

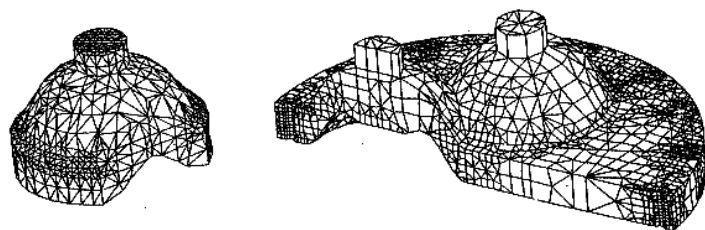
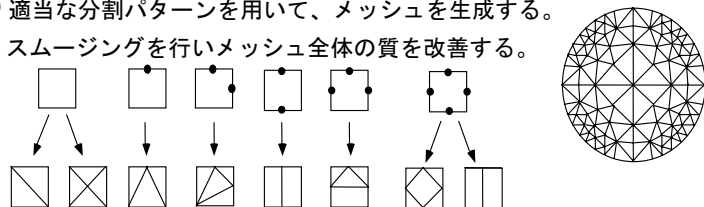


任意形状に対応
3次元への拡張が容易(8分木法)
要素形状があまりよくない
力学的な問題と別に粗密が生じる

18

四分木・八分木法(2)

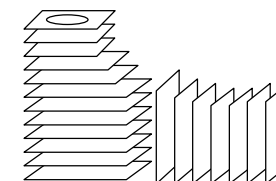
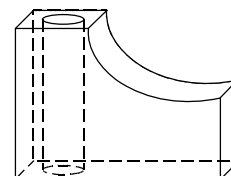
- (4) 生成された、正方形のうち領域の外部にあるものは除去し、境界線上にある正方形については、境界に適合するように正方形ブロックの形状を修正する。
- (5) 適当な分割パターンを用いて、メッシュを生成する。
- (6) スムージングを行いメッシュ全体の質を改善する。



19

スライスカット法(断面法)

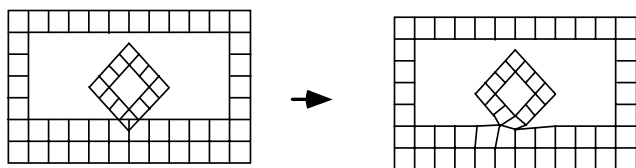
- 2.5次元体のメッシュ生成
- 完全な自動化は困難



20

ペービング法

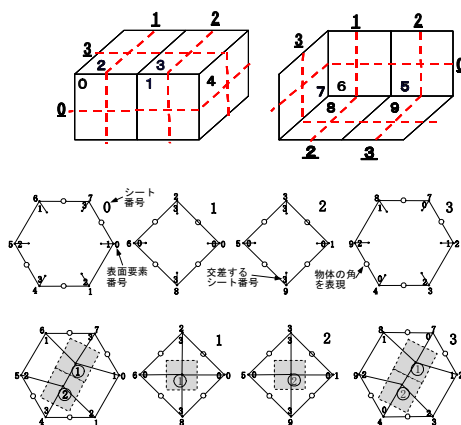
- 境界から順に4辺形メッシュを配置していく
- 矛盾が出たら修正する



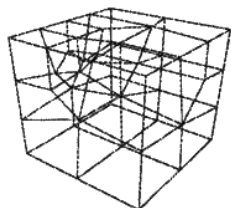
6面体メッシュ生成法

- Whisker Weaving法
 - 2次元のPaving法の3次元への拡張
- Grid Based法
 - 立体の内部に立方体のグリッドを配置
 - 表面を処理
- Medial Surfaceを用いた空間分割法
 - マッピングによる6面体生成が可能な基本領域に分割
 - すべての頂点において稜線が3本である必要

Whisker Weaving法

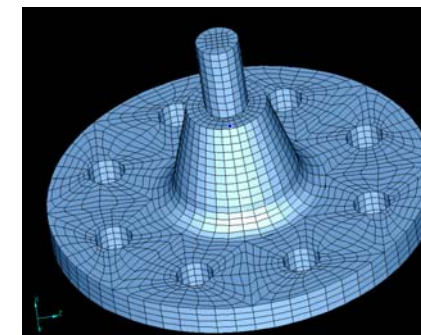
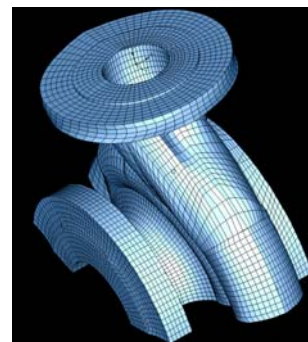


表面の四角形分割データから
内部に六面体を生成していく
STC空間上での分割
四角形分割によっては六面体に
切れない場合がある
現状では実用化レベルのものはない

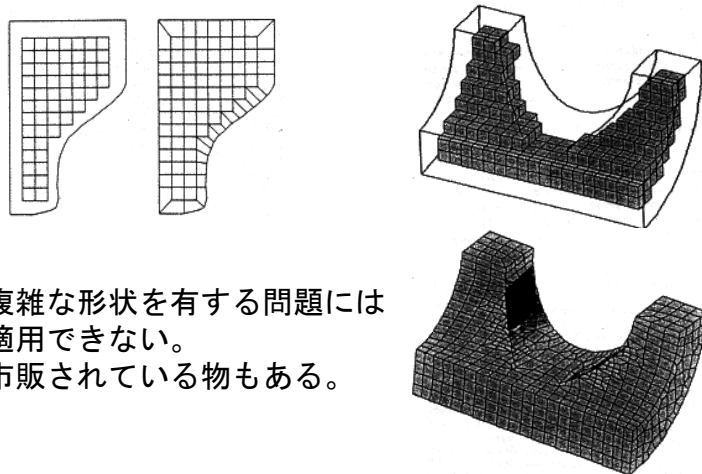


Whisker Weaving

- 表面の四角形メッシュから、内部に六面体メッシュを作成していく
(Muller-Hannemann)



Grid Based法、オーバーレイ法



複雑な形状を有する問題には適用できない。
市販されている物もある。

Medial Surfaceを用いた方法

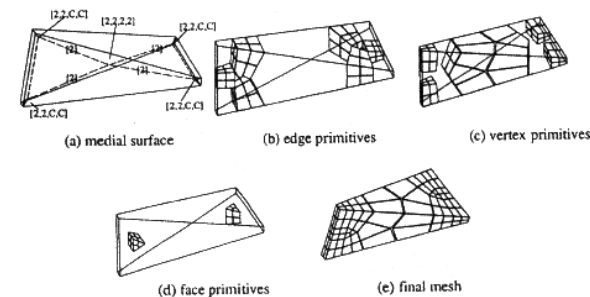


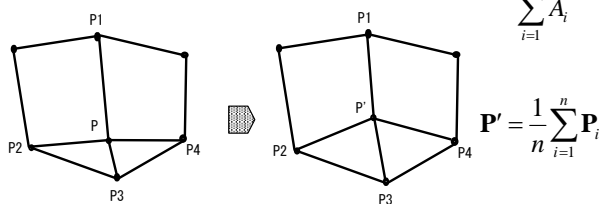
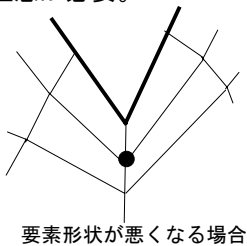
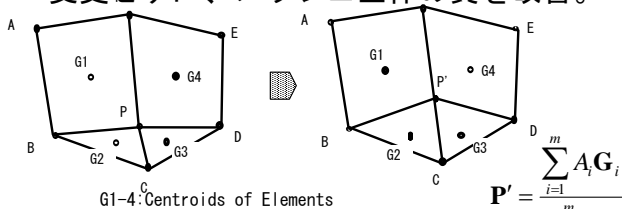
Figure 28. Example 1, showing stages in meshing the tapered brick

すべての頂点において稜線が3本である必要がある。
実用化されているものもある。

スムージング (Smoothing)

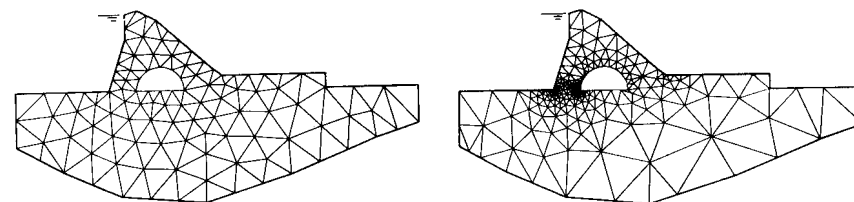
メッシュ生成が終了した後に、メッシュのトポロジーを変更せずに、メッシュ全体の質を改善。

凹状の境界付近では、注意が必要。

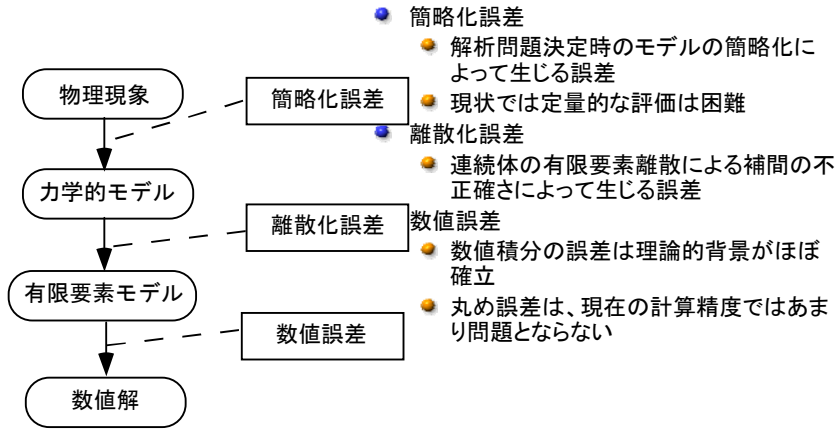


アダプティブ法とは

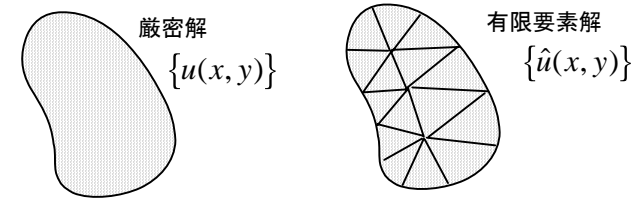
- 有限要素法の解の精度はメッシュに依存
 - 応力の急激に変化する場所は細かい要素に分割
- 「良い」メッシュの生成
 - 経験豊富なエンジニアが手で生成
 - 粗密付けの機能を持った自動メッシュジェネレータの利用
- アダプティブ法
 - 解析結果に基づき離散化誤差の分布を推定し、誤差を減らすようにメッシュを改善→解析専門家でなくても精度のよい解析が可能



解析における誤差



離散化誤差の計り方



$$\text{誤差} \quad \{e(x, y)\} = \{u(x, y)\} - \{\hat{u}(x, y)\}$$

ベクトル量のスカラー化 (エネルギーノルム)

$$\| \{e\} \| = \int_{\Omega} \nabla \{u\}^T [D] \nabla \{u\} d\Omega$$

要素ごとの解析を行うとき、剛体運動成分は正確に求めることができない

事前誤差評価と事後誤差評価

- 事前誤差評価 (A-Priori Error Estimation)
 - 有限要素解析を行う前に、メッシュの代表長さ h に基づいて誤差評価を行う
 - オーダーレベルの誤差評価のみ
 - 誤差の分布はわからない

$$\| \{u\} - \{\hat{u}\} \|_m \leq Ch^{k-m+1} \| \{u\} \|_{k+1}$$

- 事後誤差評価 (A-Posteriori Error Estimation)
 - 有限要素解析の解を利用して誤差解析を行う
 - 定量的な誤差の評価が可能
 - 誤差の領域内での分布がわかる

事後誤差評価法の種類

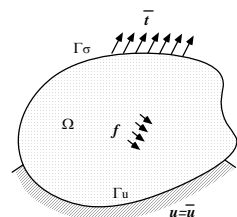
- 応力場のスムージングによるもの
 - 応力の不連続量を評価
 - Zienkiewicz, et. al.
- 残差によるもの
 - 基礎方程式に基づく
 - Oden, et. al.
 - 大坪、北村 et. al.
- サブドメインで残差を評価するもの
 - Babaska, et al.
- 双対法によって誤差の上下限を求めるもの
- etc.

残差に基づく方法

厳密解: 釣合い方程式、境界条件を完全に満足する

$$\nabla \cdot \{\sigma\} + \{f\} = \{0\}$$

領域内で、力は常に釣り合う



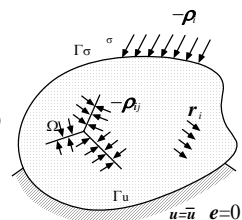
有限要素解: 基礎方程式に残差が生じる

$$\nabla \cdot \{\hat{\sigma}\} + \{f\} = \{r\}$$

要素間、境界の反力に不釣り合いが生じる

$$\{t\}_i + \{t\}_j = \{\rho\}_{ij}$$

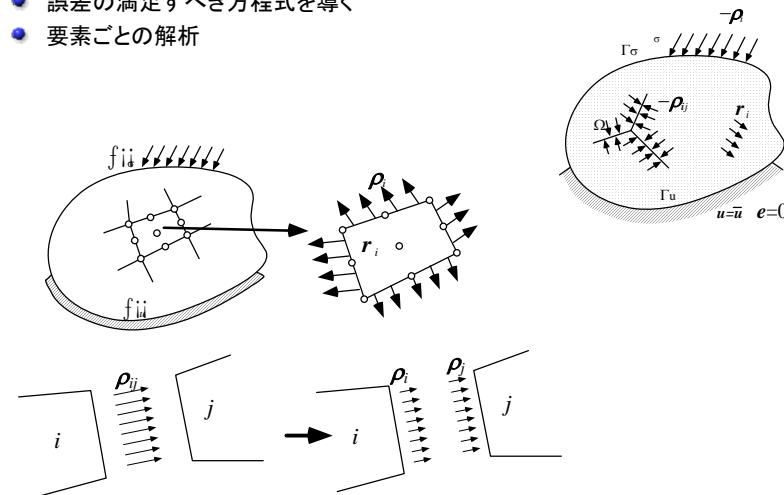
$$\{t\}_i - \{\bar{t}\} = \{\rho\}_{i\sigma}$$



33

残差に基づく誤差の計算

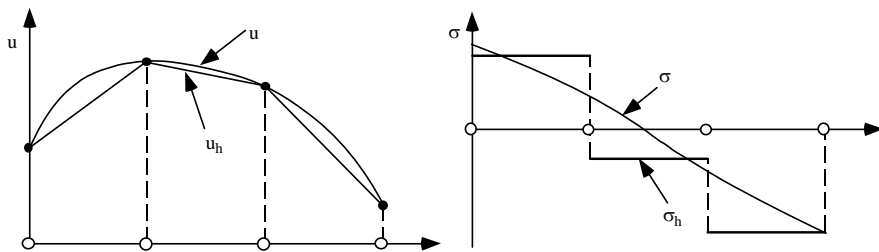
- 誤差の満足すべき方程式を導く
- 要素ごとの解析



34

変位と応力の連続性

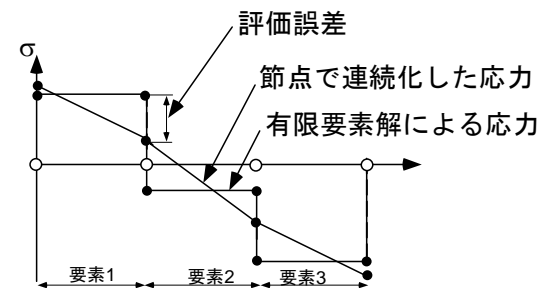
- 2階の微分方程式
 - 1階微分(応力、歪)は連続



35

スムージングによる方法

- 1次の近似関数を用いた場合、変位は連続であるが応力は不連続になる。



36

スムージングした応力

$$\sigma^* = N\bar{\sigma}^*$$

$$\int_{\Omega} N^T (\sigma^* - \sigma_h) d\Omega = 0$$

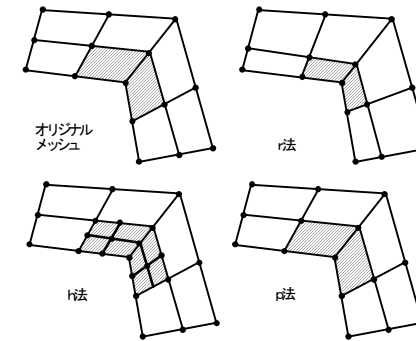
$$\bar{\sigma}^* = A^{-1} \left(\int_{\Omega} N^T D \nabla^* N \tilde{u}_h d\Omega \right)$$

$$A = \int_{\Omega} N^T N d\Omega$$

37

アダプティブ法の種類

- r法: 節点を移動し、誤差の大きい領域の要素寸法を小さくする
- h法: 要素を細分割し、要素寸法を小さくする
- p法: 近似関数の次数を上げる



38

アダプティブ法の指針1

$$\min f(h) = \sum_{i=1}^{N_{el}} \|e(h)\|_i^2$$

subject to

$$g(h) = \int_{\Omega} n(h) d\Omega - \bar{N} \leq 0$$

Lagrange乗数法

$$L = f(h) + \lambda g(h)$$

$$-\left(\frac{\partial f(h)}{\partial h} / \frac{\partial g(h)}{\partial h} \right) = \lambda$$

39

アダプティブ法の指針2

$$-\left(\frac{\partial f(h)}{\partial h} / \frac{\partial g(h)}{\partial h} \right) = \lambda$$

$$f(h) = \bar{m} h^{\sigma}$$

$$g(h) = \bar{n} h^{-2}$$

$$-\frac{\sigma \bar{m} h^{\sigma-1}}{2 \bar{n} h^{-3}} = -\frac{\sigma \bar{m} h^{\sigma}}{2 \bar{n} h^{-2}} = \lambda \quad \text{領域内で一定}$$

$$-\int_{\Omega_i} \bar{m} h^{\sigma} d\Omega = \frac{2\lambda}{\sigma} \int_{\Omega_i} \bar{n} h^{-2} d\Omega = \mu \quad \text{各要素で一定}$$

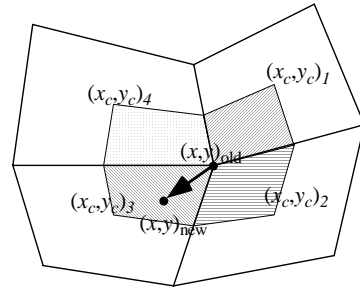
40

r-アダプティブ法

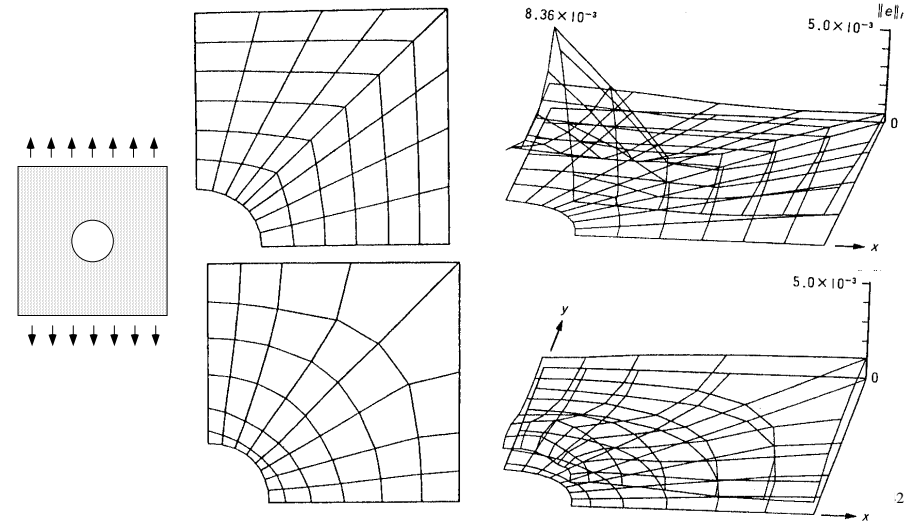
- まわりの要素の誤差に応じて節点を移動
- メッシュのコネクティビティーは変化なし
- メッシュのゆがみによる問題→大きな移動は難しい
- 目的とする精度を指定することは難しい

$$x_n = \frac{\sum x_i^c (\|e\|_i / A_i)}{\sum (\|e\|_i / A_i)}$$

$$y_n = \frac{\sum y_i^c (\|e\|_i / A_i)}{\sum (\|e\|_i / A_i)}$$

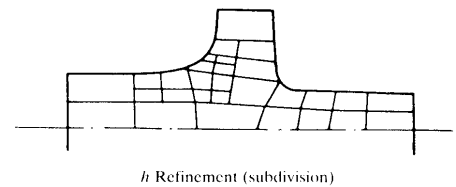
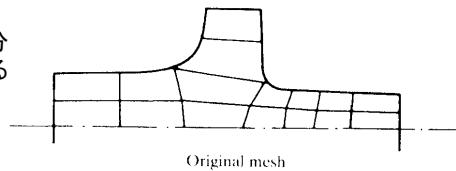


r-アダプティブ法の例

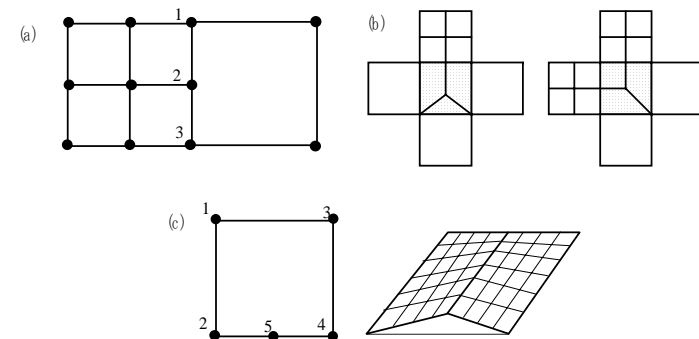


h-アダプティブ法

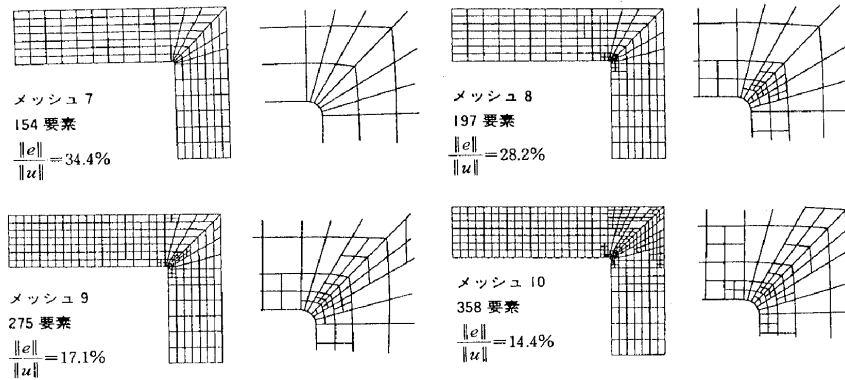
- 誤差の大きい要素を細分割
- 精度を指定することによってのコントロール可
- 要素の細分化する部分としない部分の境界で、特殊な処理が必要になる



h-アダプティブ法の形状関数の連続性

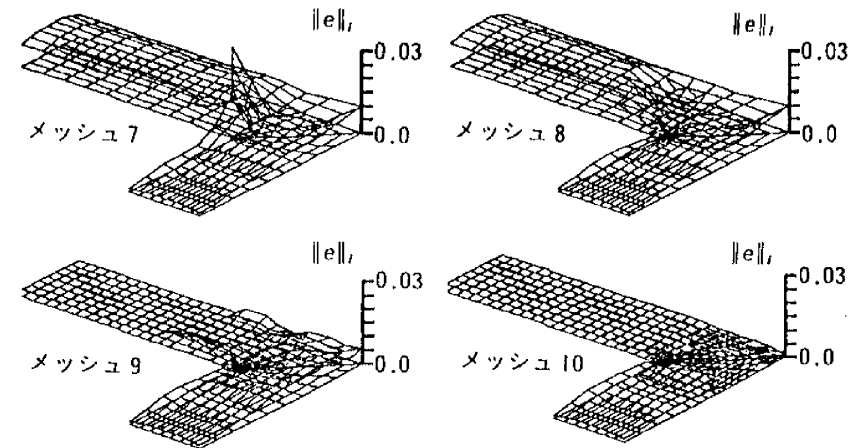


h-アダプティブ法の例



45

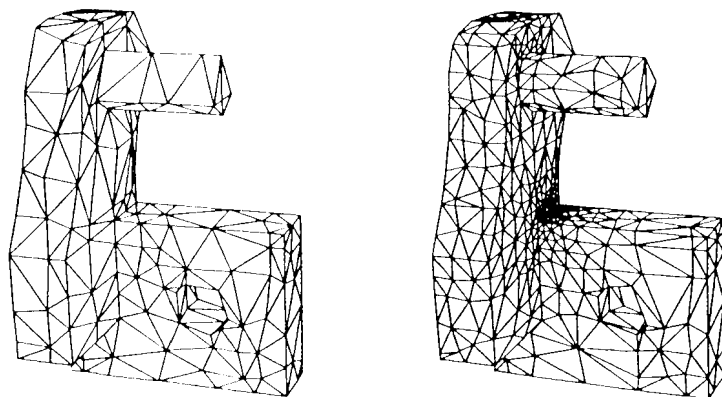
h-アダプティブ法の例(誤差分布)



5

切り直しを行うh法

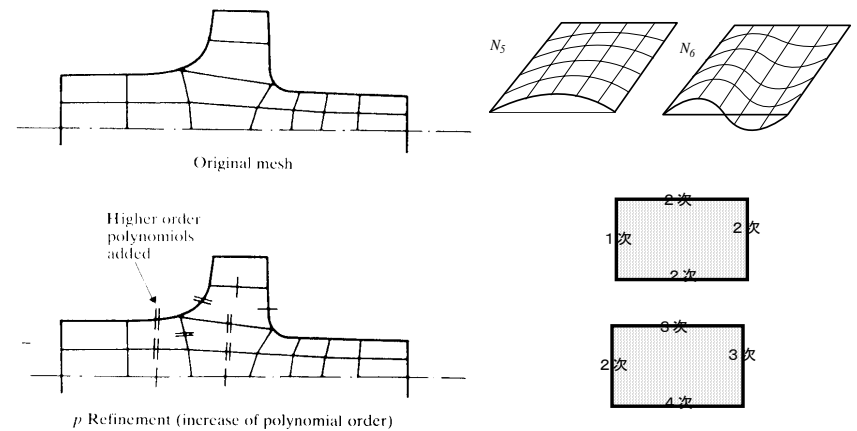
- メッシュの切り直しを行う



47

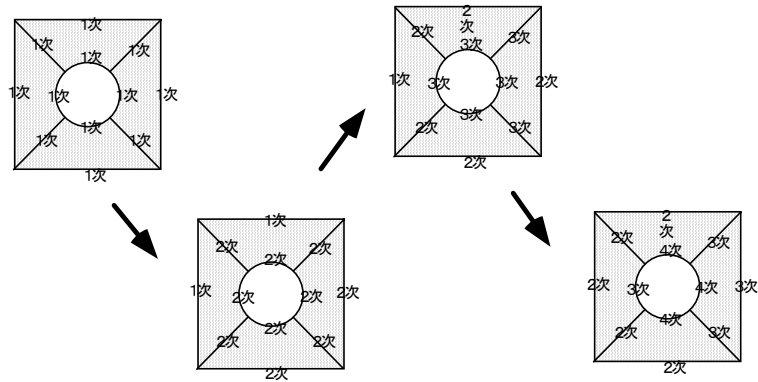
p-アダプティブ法

- 要素内の誤差が大きい要素の辺の形状関数の次数を上げる



48

p-アダプティブ法のストラテジー



各方法の比較

	r 法	h 法	P 法
長所	<ul style="list-style-type: none"> 要素数、節点数一定 比較的少ない自由度でよい精度 	<ul style="list-style-type: none"> 複雑な形状への適用が容易 応力集中に対する精度良 	<ul style="list-style-type: none"> 単純な入力データ 少ない要素数で程々の精度
短所	<ul style="list-style-type: none"> 境界での節点移動が複雑 比較的少ない自由度でよい精度 	<ul style="list-style-type: none"> 要素数の急激な増加 中間節点の発生 	<ul style="list-style-type: none"> 急激な応力集中などに対する精度が悪い